

УДК 536.24

## ИССЛЕДОВАНИЕ ХАРАКТЕРИСТИК ТЕПЛООБМЕНА ПРИ ОБТЕКАНИИ ЗАТУПЛЕННОГО ПО СФЕРЕ КОНУСА ПОД УГЛОМ АТАКИ И ВДУВЕ ГАЗА С ПОВЕРХНОСТИ ЗАТУПЛЕНИЯ

В. И. Зинченко, А. С. Якимов\*

Томский государственный университет, 634050 Томск

\* Томский государственный университет систем управления и радиоэлектроники,  
634050 Томск

Рассмотрены новые способы управления тепловыми режимами при пространственном обтекании тела высокоянтальпийным потоком, связанные с одновременным воздействием вдува газа с поверхности затупления и перетекания тепла в материале оболочки. Для различных коэффициентов теплопроводности тела проведен анализ влияния вдува и показана эффективность использования высокотеплопроводных материалов для снижения максимальных температур на наветренной стороне в результате интенсивного стока тепла в область пористого сферического затупления.

Для стационарных режимов прогрева [1] при высокоянтальпийном обтекании тела перетекание тепла в материале служит эффективным способом снижения температуры для областей с максимальными тепловыми нагрузками. Анализ характеристик сопряженного нестационарного теплообмена при различных режимах течения в пограничном слое [2] показал, что надежным способом тепловой защиты конструкции от перегрева является вдув газа-охладителя. В этом случае происходит ослабление теплового потока, подводимого к поверхности, и отбор тепла при фильтрации газа в порах. В отличие от осесимметричного прогрева [1, 2] при обтекании тела под углом атаки [3] разница в тепловых потоках на подветренной и наветренной сторонах может быть весьма значительной, что вызывает перетекание тепла в окружном направлении. В [3] исследовано влияние теплофизических свойств ряда материалов на температурные поля конической части обтекаемого тела и сделан вывод о целесообразности использования высокотеплопроводных покрытий, обеспечивающих интенсивный сток тепла в область пористого сферического затупления. При этом задача о теплообмене в области пористого затупления не рассматривалась, а использовались упрощенные граничные условия на стыке сферической и конической частей тела.

В данной работе используется полная постановка задачи в составном теле и при математическом моделировании прогрева задаются граничные условия, соответствующие заданию конвективных тепловых потоков со стороны газовой фазы для пространственного сверхзвукового обтекания конуса, затупленного по сфере, с учетом влияния вдува с поверхности пористого затупления.

**1. Постановка задачи.** Для проницаемой сферической оболочки составного тела (рис. 1) с учетом допущения об одномерности процесса фильтрации вдуваемого газа в направлении нормали к поверхности и однотемпературности пористой среды уравнение

Работа выполнена при финансовой поддержке Российского фонда фундаментальных исследований (код проекта 96-01-00964).

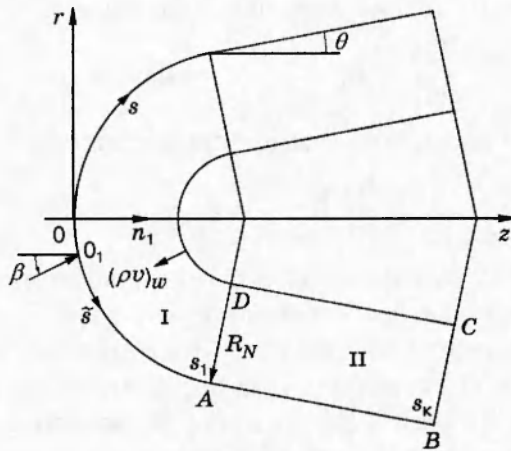


Рис. 1

сохранения энергии в естественной системе координат, связанной с осью симметрии тела, записывается в виде

$$\lambda_{\Sigma} \frac{\partial T_1}{\partial t} - c_r \frac{(\rho v)_w r_{1w}}{H r_1} \frac{\partial T_1}{\partial n_1} = \frac{1}{H r_1} \left[ \frac{\partial}{\partial n_1} \left( H r_1 \lambda_{\Sigma} \frac{\partial T_1}{\partial n_1} \right) + \frac{\partial}{\partial s} \left( \frac{r_1 \lambda_{\Sigma}}{H} \frac{\partial T_1}{\partial s} \right) + \frac{\partial}{\partial \eta} \left( \frac{H}{r_1} \lambda_{\Sigma} \frac{\partial T_1}{\partial \eta} \right) \right], \quad (1.1)$$

$$0 < s < s_A, \quad 0 < n_1 < L, \quad 0 < \eta < \pi, \quad H = \frac{R_N - n_1}{R_N}, \quad r_1 = (R_N - n_1) \sin \bar{s}, \quad \bar{s} = \frac{s}{R_N}.$$

Для конической части оболочки (область II на рис. 1) уравнение теплопроводности записывается следующим образом:

$$(r \rho c_p)_2 \frac{\partial T_2}{\partial t} = \frac{\partial}{\partial n_1} \left( r_2 \lambda_2 \frac{\partial T_2}{\partial n_1} \right) + \frac{\partial}{\partial s} \left( r_2 \lambda_2 \frac{\partial T_2}{\partial s} \right) + \frac{1}{r_2} \frac{\partial}{\partial \eta} \left( \lambda_2 \frac{\partial T_2}{\partial \eta} \right), \quad (1.2)$$

$$s_A < s < s_B, \quad r_2 = (R_N - n_1) \cos \theta + (s - s_A) \sin \theta.$$

Систему уравнений (1.1), (1.2) необходимо решать с учетом начальных и граничных условий

$$T_i \Big|_{t=0} = T_{hi}, \quad i = 1, 2. \quad (1.3)$$

На внешней нагреваемой границе раздела газового потока и тела  $0A$  в области сферического затупления (область I на рис. 1) имеем

$$q_w - \varepsilon_1 \sigma T_{1w}^4 = -\lambda_{\Sigma} \frac{\partial T_1}{\partial n_1} \Big|_w, \quad (1.4)$$

на внешней поверхности непроницаемого конуса

$$q_w - \varepsilon_2 \sigma T_{2w}^4 = -\lambda_2 \frac{\partial T_2}{\partial n_1} \Big|_w. \quad (1.5)$$

На внутренней поверхности проницаемой области I задается теплообмен по закону Ньютона с учетом вдува:

$$\lambda_{\Sigma} \left( \frac{\partial T_1}{\partial n_1} \right) \Big|_L = \frac{r_{1w} c_r (\rho v)_w}{(H r_1)_L} (T_{hi} - T_1 \Big|_L). \quad (1.6)$$

На кольце сопряжения  $AD$  имеем условия идеального контакта

$$\frac{\lambda_{\Sigma}}{H} \frac{\partial T_1}{\partial s} = \lambda_2 \frac{\partial T_2}{\partial s}, \quad T_1 = T_2. \quad (1.7)$$

На линиях  $DC$  и  $BC$  ставятся условия тепловой изоляции

$$\frac{\partial T_2}{\partial n_1} = 0, \quad \frac{\partial T_2}{\partial s} = 0. \quad (1.8)$$

Для теплообмена, имеющего плоскость симметрии, запишем

$$\left( \frac{\partial T_i}{\partial \eta} \right) \Big|_{\eta=0} = \left( \frac{\partial T_i}{\partial \eta} \right) \Big|_{\eta=\pi} = 0, \quad i = 1, 2. \quad (1.9)$$

При задании теплового потока из газовой фазы  $q_w$  воспользуемся формулами работы [4] для пространственного случая при ламинарном и турбулентном режимах течения в пограничном слое. Для ослабления теплового потока при вдуве газа-охладителя, совпадающего по составу с набегающим воздушным потоком, используем формулы из [5]. При этом на цористой сферической части в системе координат, связанной с точкой торможения  $0_1$ , для ламинарного режима течения в пограничном слое получим

$$\begin{aligned} q_w &= \left( \frac{\alpha}{c_p} \right)^0 \left[ 1 - \frac{0,6(\rho v)_w}{(\alpha/c_p)^0} \right] (h_r - h_w), \quad \left( \frac{\alpha}{c_p} \right)^0 = \frac{1,05 V_\infty^{1,08} [0,55 + 0,45 \cos(2\tilde{s})]}{(R_N/\rho_\infty)^{0,5}}, \\ h_r &= h_{e0} \left[ \left( \frac{p_e}{p_{e0}} \right)^{(\gamma-1)/\gamma} + \left( \frac{u_e}{v_m} \right)^2 \text{Pr}^{0,5} \right], \quad \frac{u_e}{v_m} = \left[ 1 - \left( \frac{p_e}{p_{e0}} \right)^{(\gamma-1)/\gamma} \right]^{0,5}, \quad 0_1 \leq \tilde{s} \leq \tilde{s}_*, \\ h_w &= b_1 T_w + b_2 T_w^2 / 2, \quad \tilde{s} = \arccos(\cos \bar{s} \cos \beta + \sin \bar{s} \sin \beta \cos \eta). \end{aligned}$$

Для турбулентного режима течения в пограничном слое имеем

$$\begin{aligned} q_w &= \left( \frac{\alpha}{c_p} \right)^0 \exp \left[ - \frac{0,37(\rho v)_w}{(\alpha/c_p)^0} \right] (h_r - h_w), \quad \left( \frac{\alpha}{c_p} \right)^0 = \frac{16,4 V_\infty^{1,25} \rho_\infty^{0,8}}{R_N^{0,2} (1 + h_w/h_{e0})^{2/3}} (3,75 \sin \tilde{s} - 3,5 \sin^2 \tilde{s}), \\ h_r &= h_{e0} \left[ \left( \frac{p_e}{p_{e0}} \right)^{(\gamma-1)/\gamma} + \left( \frac{u_e}{v_m} \right)^2 \text{Pr}^{1/3} \right], \quad \tilde{s}_* < \tilde{s} \leq \tilde{s}_1. \end{aligned}$$

Чтобы оценить влияние вдува на тепловой поток в завесной зоне, воспользуемся данными [6] и формулами [3], полученными на основе обработки результатов точных численных расчетов пространственного турбулентного пограничного слоя и вязкого ударного слоя [7, 8]:

$$\begin{aligned} q_w &= \left( \frac{\alpha}{c_p} \right)^0 (1 - k_1 b^{k_2}) (h_r - h_w), \quad \left( \frac{\alpha}{c_p} \right)^0 = \frac{16,4 V_\infty^{1,25} \rho_\infty^{0,8} 2,2 (p_e/p_{e0}) u_e/v_m}{R_N^{0,2} (1 + h_w/h_{e0})^{2/3} k^{0,4} \bar{r}_{2w}^{0,2}}, \\ k &= (\gamma - 1 + 2/M_\infty^2) / (\gamma + 1), \quad \tilde{s}_A \leq \tilde{s} \leq \tilde{s}_B. \end{aligned}$$

Для закона расхода газа-охладителя

$$(\rho v)_w(\tilde{s}) = (\rho v)_w(0_1)(1 + a \sin^2 \tilde{s}) \quad (1.10)$$

имеем

$$b = \frac{2(\rho v)_w(0_1) \{1 - \cos \tilde{s}_1 + a[2/3 - \cos \tilde{s}_1 + (1/3) \cos^3 \tilde{s}_1]\}}{(\alpha/c_p)^0 (\bar{s} - \tilde{s}_1) [2 \cos \theta + (\bar{s} - \tilde{s}_1) \sin \theta]},$$

$$\cos \tilde{s}_1 = \cos \bar{s}_1 \cos \beta + \sin \bar{s}_1 \sin \beta \cos \eta, \quad \bar{s}_1 = \bar{s}_A = \pi/2 - \theta.$$

Здесь и ниже  $t$  — время;  $r, z$  — поперечная и продольная составляющие цилиндрической системы координат;  $n_1, s, \eta$  — составляющие естественной системы координат;  $T, p, \rho$  — температура, давление и истинная плотность;  $(\rho v)_w$  — расход газа-охладителя;  $c_p$  и  $\lambda$  — коэффициенты теплоемкости и теплопроводности;  $h$  — энталпия;  $r_1, r_2, H$  — коэффициенты Ламе;  $\varphi, R_N$  — пористость и радиус сферического затупления;  $\sigma$  — постоянная

Стефана — Больцмана;  $\varepsilon_i$  ( $i = 1, 2$ ) — излучательная способность поверхности обтекаемого материала;  $s_*$  — координата точки потери устойчивости в системе координат с началом в точке торможения;  $\beta, \theta$  — углы атаки и конусности;  $Re, Pr$  — числа Рейнольдса и Прандтля;  $L$  — толщина оболочки;  $V_\infty, \rho_\infty, M_\infty$  — скорость движения, плотность и число Маха в набегающем потоке;  $\mu$  — вязкость газового потока. Индексы  $e0, w$  соответствуют условиям на внешней границе пограничного слоя в точке торможения и на границе раздела газообразной и твердой фаз; 1, 2 — номеру области составной оболочки;  $\Gamma$  — характеристикам газа в пористой среде;  $n, *$  — начальным и характерным параметрам; черта сверху — безразмерным величинам; верхний индекс 0 — параметрам  $\alpha/c_p, q_w$  в отсутствие вдува;  $L$  — величинам на внутренней поверхности оболочки;  $\Sigma$  — суммарным значениям величин;  $r$  — радиационной равновесной температуре;  $k$  — конечным значениям величин.

**2. Метод расчета, исходные данные.** Краевая задача (1.1)–(1.9) решалась численно при помощи неявных разностных уравнений на основе локально-одномерной схемы расщепления [9]. Так как в силу условия сопряжения (1.7) по линиям типа  $BA0$  используется сквозной счет, то окружная координата  $\eta$  изменяется в диапазоне  $0 \leq \eta \leq \pi$ . При этом расчетная сетка принималась по пространству  $11 \times 41 \times 11$ , а время решения опорного (трехмерного) варианта до стационарного распределения температуры тела на ПЭВМ-486 составляло 15 мин. Сгущение узлов по пространственной сетке в 2 раза привело к отличию решения не более чем на 1,5 %. Численное решение, найденное при автоматическом выборе шага по времени из условия заданной точности, отличалось от расчета задачи с постоянным шагом всего на 0,5 %, поэтому для экономии времени решения на ПЭВМ результаты численного расчета получены при постоянном шаге по времени.

Обтекание затупленного по сфере конуса происходило при турбулентном режиме течения в пограничном слое ( $Re = \rho_{e0} R_N (2h_{e0})^{0,5} / \mu_{e0} \approx 0,7 \cdot 10^6$  — число Рейнольдса, найденное по параметрам торможения). Распределение давления на поверхности тела, отнесенное к давлению торможения  $\bar{p} = p_e / p_{e0}$ , находилось из решения пространственной газодинамической задачи [10]. Теплофизические постоянные меди взяты из [5], в качестве газа-охладителя выбрана воздушная среда [11], а основные результаты получены при

$c_\Sigma$	$= c_{p1} \rho_1 (1 - \varphi) + c_\Gamma \rho_\Gamma \varphi,$	$\lambda_\Sigma$	$= \lambda_1 (1 - \varphi) + \lambda_\Gamma \varphi,$
$c_\Gamma$	$= b_1 + b_2 T,$	$h_{e0}$	$= h_\infty [1 + 0,5(\gamma - 1)M_\infty^2],$
$T_n$	$= T_\infty = 300 \text{ K},$	$c_{p\infty}$	$= 10^3 \text{ Дж}/(\text{кг} \cdot \text{К}),$
$\lambda_i$	$= 386 \text{ Вт}/(\text{м} \cdot \text{К}),$	$\rho_\Gamma$	$= 1,3 \text{ кг}/\text{м}^3,$
$\rho_i$	$= 8950 \text{ кг}/\text{м}^3,$	$\lambda_\Gamma$	$= 0,026 \text{ Вт}/(\text{м} \cdot \text{К}),$
$c_{p_i}$	$= 370 \text{ Дж}/(\text{кг} \cdot \text{К}),$	$L$	$= 5 \cdot 10^{-3} \text{ м},$
$\varepsilon_i$	$= 0,85, i = 1, 2,$	$R_N$	$= 1,85 \cdot 10^{-2} \text{ м},$
$\rho_\infty$	$= 0,0208 \text{ с}^2 \cdot \text{кгс}/\text{м}^4,$	$V_\infty$	$= 2,08 \text{ км}/\text{с},$
$\beta$	$= 20^\circ, \theta = 5^\circ,$	$b_1$	$= 965,5, b_2 = 0,147,$
$\varphi$	$= 0,34, \gamma = 1,4,$	$M_\infty$	$= 6, Pr = 0,72,$
$k_1$	$= 0,285,$	$k_2$	$= 0,165, a = 3.$

Для контроля численного решения задачи использовалось аналитическое решение для стационарного теплообмена в виде интегрального закона сохранения. Тогда температура поверхности удовлетворяет соотношению

$$\int_0^\pi \left\{ \int_0^{s_1} r_{1w} [q_w - \varepsilon_1 \sigma T_w^4 + c_\Gamma (\rho v)_w (T_n - T_w)] ds \int_{s_1}^{s_k} r_{2w} (q_w - \varepsilon_2 \sigma T_w^4) ds \right\} d\eta = 0, \quad (2.1)$$

которое получается после интегрирования исходной краевой задачи в стационарном случае. При  $\lambda_1 \rightarrow \infty$ ,  $\lambda_2 \rightarrow \infty$  имеет место выравнивание температурного поля в материале обтекаемого тела и значение искомой температуры хорошо согласуется с результатами расчетов нелинейного алгебраического уравнения

$$(h_{e0} - c_r T_w) \int_0^{\pi} \left[ \int_0^{s_1} r_{1w} \left( \frac{\tilde{\alpha}}{c_p} \right) ds + \int_{s_1}^{s_k} \left( \frac{\tilde{\alpha}}{c_p} \right) r_{2w} ds + c_r (T_h - T_w) \int_0^{s_1} r_{1w} (\rho v)_w ds \right] d\eta = \\ = \pi \sigma T_w^4 \left( \varepsilon_1 \int_0^{s_1} r_{1w} ds + \varepsilon_2 \int_{s_1}^{s_k} r_{2w} ds \right), \quad \left( \frac{\tilde{\alpha}}{c_p} \right) = \left( \frac{\alpha}{c_p} \right) \frac{h_r - h_w}{h_{e0} - h_w}, \quad (2.2)$$

вытекающего из (2.1) при использовании выражения для теплового потока в виде  $q_w = (\tilde{\alpha}/c_p)(h_{e0} - c_r T_w)$ ,  $c_r = \text{const}$ .

**3. Анализ результатов численного решения.** На рис. 2 представлены зависимости температуры поверхности  $T_w$  и конвективного теплового потока из газовой фазы  $q_w$  (сплошные кривые 1–3) от координаты  $s$  на наветренной и подветренной сторонах плоскости симметрии при  $(\rho v)_w = 0$ . Кривые 1–3 отвечают моментам времени  $t = 0; 10; 200$  с (в последнем случае имеет место стационарный режим протекания процесса нагрева тела). Для оценки влияния перетекания тепла в окружном направлении рассматривалось решение двумерной задачи, получающейся из (1.1), (1.2). Соответствующие этому решению зависимости представлены штриховыми линиями (штриховые и сплошные кривые 1 для  $q_w$  и  $T_w$  при  $t = 0$  совпадают). Штрихпунктирной линией показано распределение радиационной равновесной температуры  $T_{wp}$  в плоскости симметрии на наветренной и подветренной сторонах, которая находилась из условий сохранения энергии на пористой и конической поверхностях

$$q_w + c_r (\rho v)_w (T_h - T_{wp}) = \varepsilon_1 \sigma T_{wp}^4, \quad q_w = \varepsilon_2 \sigma T_{wp}^4 \quad (3.1)$$

и определяет максимально достижимую температуру поверхности в отсутствие перетекания тепла в продольном и окружном направлениях. Вследствие внешнего нагрева температура поверхности непроницаемого тела возрастает и наибольшее ее значение отвечает величине радиационной равновесной температуры в области максимального теплового потока для турбулентного режима течения в пограничном слое вблизи точки торможения. Как и следовало ожидать, учет перетекания тепла дает значительное снижение  $T_w$  для высокотеплопроводного материала типа меди, причем неучет перетекания тепла в окружном направлении завышает температуру поверхности в текущие моменты времени более чем на 300 К на наветренной стороне и существенно занижает  $T_w$  на подветренной стороне (сплошные и штриховые кривые 2). Отметим также, что при выходе на стационарный режим протекания процесса температура поверхности на подветренной стороне вследствие продольного и окружного перетекания тепла значительно превышает радиационно-равновесную температуру  $T_{wp}$ . Помимо расчета  $T_{wp}$  из условий (3.1) решалась исходная краевая задача для низкотеплопроводного материала типа асбоцемента ( $\lambda_i = 0,349$  Вт/(м · К),  $c_{pi} = 837$  Дж/(кг · К),  $\rho_i = 1800$  кг/м<sup>3</sup>,  $i = 1, 2$ ). При выходе на стационарный режим после выравнивания полей температуры поперек оболочки значения  $T_w$  совпали со значениями  $T_{wp}$  (кривая, помеченная крестами, на рис. 2), поскольку для данного материала процесс прогрева является одномерным.

Результаты расчета стационарного режима протекания процесса нагрева при  $\lambda_i \rightarrow \infty$  ( $i = 1, 2$ ) показывают, что происходит выравнивание температурного профиля в обтекаемом материале (прямые линии 3'), а значения температуры в трехмерном прогреве удовлетворительно согласуются с результатами расчета по формуле (2.2). На рис. 3 (обозначения соответствуют рис. 2) показано распределение  $T_w$  и  $q_w$  по окружной координате

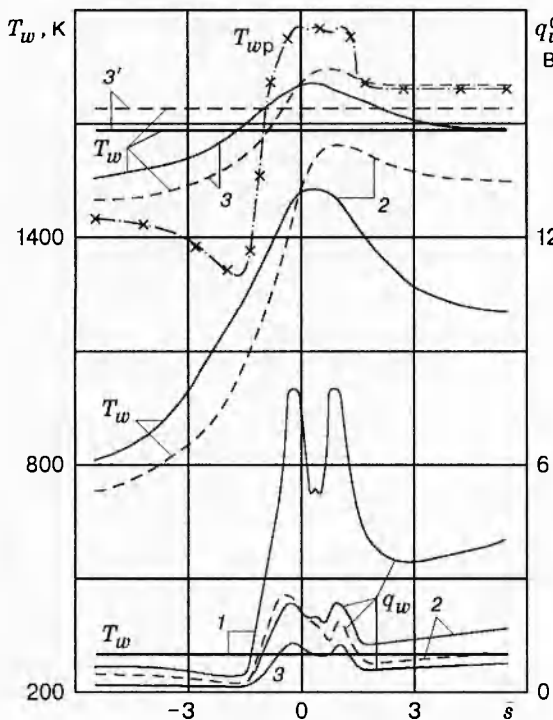


Рис. 2

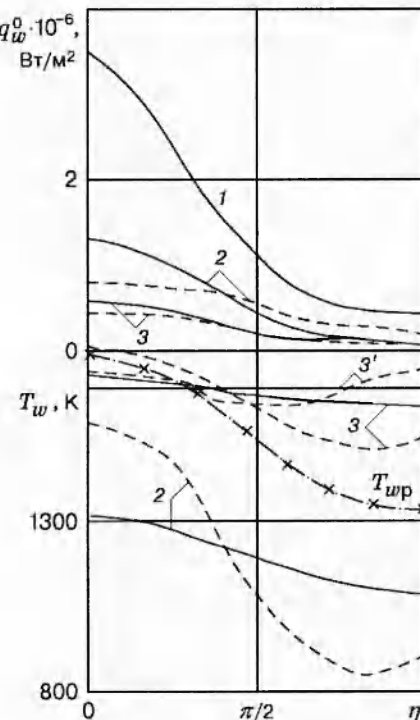


Рис. 3

на конической части оболочки в сечении  $s = 2,3$ , близком к сферическому носку. Здесь значительное различие температур в трехмерном и двумерном случаях наблюдается в самом теплоизнапряженном сечении  $\eta = 0$  ( $\sim 269$  К) и сечении  $\eta \approx 0,8\pi$  ( $\sim 258$  К) при  $t = 10$  с. Однако максимальное различие  $T_w$  при  $t = 10$  с получается на периферийном участке оболочки для  $s = s_B$ ,  $\eta = 0$  и составляет примерно 348 К (см. рис. 2). С немонотонным распределением давления  $p_e = p_e(s, \eta)$  по окружной координате связано немонотонное поведение температур для меди и при  $\lambda_i \rightarrow \infty$  ( $i = 1, 2$ ) в двумерном случае (штриховая кривая 3').

Рассмотрим влияние расхода газа-охладителя с поверхности затупления. На рис. 4 приведены распределения тепловых потоков  $q_w$  (сплошные кривые 1, 1'), температур поверхности  $T_w$  для начального времени  $t = 0$  (прямые 1, 1') и при стационарном режиме протекания процесса (сплошные кривые 2, 2'). Кривые 1, 2 и 1', 2' получены при расходе в точке торможения  $0_1$   $(\rho v)_w(0_1) = 6; 12$  кг/( $m^2 \cdot$  с) соответственно. Расход газа-охладителя, заданный по формуле (1.10), в окрестности плоскости симметрии представлен штриховыми кривыми 1, 1' при  $(\rho v)_w(0_1) = 6; 12$  кг/( $m^2 \cdot$  с) соответственно. Штрихпунктирные кривые 2, 2' отвечают значениям радиационной равновесной температуры при различных значениях расхода. Прямые линии 2, 2' соответствуют данным, полученным при  $\lambda \rightarrow \infty$ , и согласуются с результатами, полученными по формулам (2.2). Видно, что вдув газа-охладителя с пористого затупления приводит к значительному уменьшению (в 2,5 раза) максимума  $q_w$  на сфере и снижению его в 2 раза на конической части тела (сплошные кривые 1 на рис. 2 и 4). Кроме того, здесь также происходит поглощение тепла при фильтрации газа в порах. В результате температура пористой полусфери в наиболее теплоизнапряженном сечении ( $\eta = 0$ ) в стационарном режиме теплообмена ( $t = 200$  с) при  $(\rho v)_w(0_1) = 6; 12$  кг/( $m^2 \cdot$  с), не превышает 860 и 710 К соответственно.

На рис. 5 показано распределение температуры поверхности по окружной координате при стационарном режиме протекания процесса нагрева тела ( $t = 200$  с). Сплошные

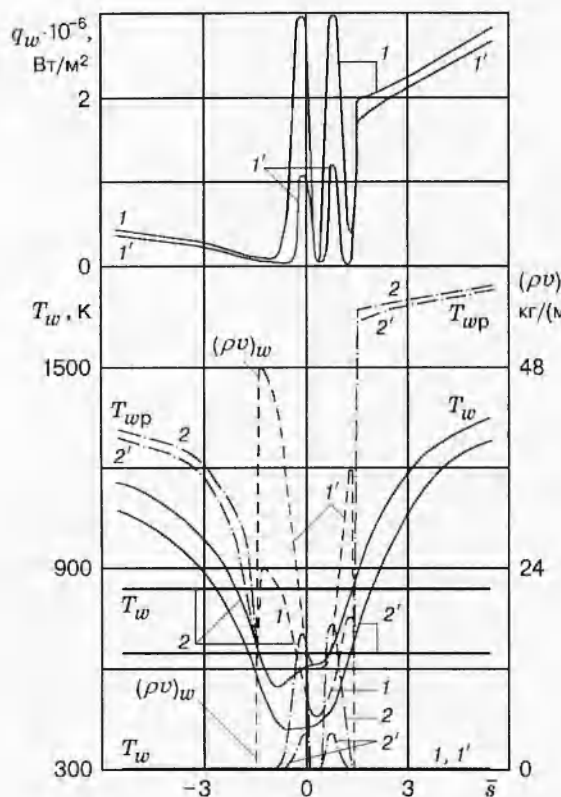


Рис. 4

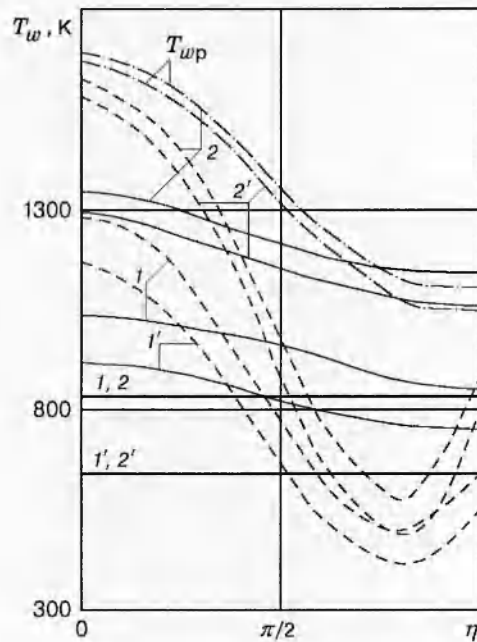


Рис. 5

и штриховые кривые отвечают соответственно трехмерному и двумерному случаям при двух значениях продольной координаты  $s$  (сплошные и штриховые кривые  $1, 1'$  —  $s = 2, 3$ ; кривые  $2, 2'$  —  $s = s_B$ ) при  $(\rho v)_w(0_1) = 6, 12 \text{ кг}/(\text{м}^2 \cdot \text{с})$ , а штрихпунктирные кривые  $2, 2'$  — радиационной равновесной температуре. Как следует из рис. 4 и 5, распределение температуры поверхности при вдуве газа-охладителя качественно отличается от распределения  $T_w(s, \eta)$  при  $(\rho v)_w = 0$  для различных конечных значений  $\lambda_i$  ( $i = 1, 2$ ). На пористой части оболочки  $T_w$  может превышать соответствующее значение  $T_{wp}$ , а на конической части, как на наветренной, так и на подветренной сторонах, вследствие стока тепла в пористое затупление температура поверхности становится существенно ниже радиационной равновесной температуры  $T_{wp}$ .

Отметим, что в двумерном случае на периферии ( $\bar{s} = \bar{s}_B, \eta = 0$ ), где достигается максимальная температура тела, оболочка может разрушаться при  $t \rightarrow \infty$  (штриховая кривая 2 на рис. 5), в то время как при трехмерном теплообмене из-за значительного перетекания тепла в окружном направлении температура тела не достигает температуры плавления меди (сплошная кривая 2). Из анализа рис. 5 следует, что вдув газа-охладителя на стационарном участке теплообмена вызывает более значительное расслоение температурных кривых  $T_w$  при  $\eta = 0; 0,8\pi$ , чем в режиме прогрева при  $(\rho v)_w = 0$ . Это обусловлено поведением конвективного теплового потока из газовой фазы  $q_w$  вследствие попадания большей массы газа-охладителя (согласно формуле (1.10)) в зависнюю зону на подветренной стороне (штриховая кривая 1 для  $(\rho v)_w$  на рис. 4).

Температура поверхности, отвечающая  $\lambda_i \rightarrow \infty$  ( $i = 1, 2$ ) и стационарному трехмерному процессу теплообмена при  $(\rho v)_w \neq 0$  (на рис. 4 и 5 прямые 1, 2 и  $1', 2'$ ), снижается более чем в 2 раза по сравнению с данными, представленными на рис. 2 и 3. Результаты, полученные при различных значениях  $(\rho v)_w(0_1) = 0 \div 12 \text{ кг}/(\text{м}^2 \cdot \text{с})$ , подтверждают выводы о целесообразности использования высокотеплопроводных материалов, обеспечи-

вающих интенсивный сток тепла в область проницаемого затупления. При этом из рис. 4 и 5 следует, что вдув заметно снижает максимальные температуры, но гораздо больший эффект по уменьшению максимальной температуры конической поверхности в завесной зоне связан с использованием теплопроводных материалов. Как следует из рис. 4, при возрастании расхода газа-охладителя температура на пористом сферическом затуплении снижается, стремясь к температуре вдуваемого газа, что подтверждает правомерность допущения, принятого в [3], об использовании граничных условий первого рода на стыке сферической и конической частей обтекаемой оболочки при интенсивном вдуве с поверхности затупления.

Таким образом, в данной работе исследовано влияние теплофизических характеристик материала обтекаемого тела в отсутствие и при наличии вдува с поверхности сферического затупления при движении под углом атаки, когда становится значительной роль перетекания тепла по окружной координате вследствие разницы тепловых потоков на наветренной и подветренной сторонах. Для изменения коэффициентов теплопроводности от нулевых значений, когда реализуется режим радиационной равновесной температуры, до  $\lambda \rightarrow \infty$ , при которых получены формулы для отыскания изотермической температуры стенки, проведен анализ влияния вдува с поверхности затупления и показана эффективность использования высокотеплопроводных материалов для снижения максимальных температур тела в результате интенсивного стока тепла в область пористого сферического затупления.

## ЛИТЕРАТУРА

1. Башкин В. А., Решетъко С. М. Расчет максимальной температуры затупления с учетом теплопроводности материала / Учен. зап. ЦАГИ. 1989. Т. 20, № 5. С. 53–59.
2. Зинченко В. И., Катаев А. Г., Якимов А. С. Исследование температурных режимов обтекаемых тел при вдуве газа с поверхности // ПМТФ. 1992. № 6. С. 57–64.
3. Зинченко В. И., Лаева В. И., Сандрыкина Т. С. Расчет температурных режимов обтекаемых тел с различными теплофизическими характеристиками // ПМТФ. 1996. Т. 37, № 5. С. 105–114.
4. Землянский Б. А., Степанов Г. Н. О расчете теплообмена при пространственном обтекании тонких затупленных конусов гиперзвуковым потоком воздуха // Изв. АН СССР. Механика жидкости и газа. 1981. № 5. С. 173–177.
5. Полежаев Ю. В., Юрьевич Ф. Б. Тепловая защита. М.: Энергия, 1978.
6. Харченко В. Н. Теплообмен в гиперзвуковом турбулентном пограничном слое при вдуве охлаждающего газа через щель // Теплофизика высоких температур. 1972. № 1. С. 101–105.
7. Зинченко В. И., Федорова О. П. Исследование пространственного турбулентного пограничного слоя с учетом сопряженного теплообмена // ПМТФ. 1989. № 3. С. 118–124.
8. Буреев А. В., Зинченко В. И. Расчет пространственного обтекания сферически затупленных конусов в окрестности плоскости симметрии при различных режимах течения в ударном слое и вдуве газа с поверхности // ПМТФ. 1991. № 6. С. 72–78.
9. Самарский А. А. Введение в теорию разностных схем. М.: Наука, 1971.
10. Антонов В. А., Гольдин В. Д., Пахомов Ф. М. Аэродинамика тел со вдувом. Томск: Изд-во Том. ун-та, 1990.
11. Варгафтик Н. Б. Справочник по теплофизическими свойствам газов и жидкостей. М.: Физматгиз, 1963.